无血清细胞冻存液

BAMBANKER® 可用于ES/iPS细胞研究

BAMBANKER®是一种无血清细胞冻存液，可在-80°C长期保存细胞（ES/iPS细胞、肿瘤细胞和常规细胞）。

产品特性

- 即用型细胞冻存液
- 无需程序降温盒及稀释
- 不含血清
- -80°C长期保存
- 细胞复苏活率高

无菌检测**

- **内毒素**：生色底物法
- **支原体**：荧光抗体法
- **真菌和细菌**：依据日本药典

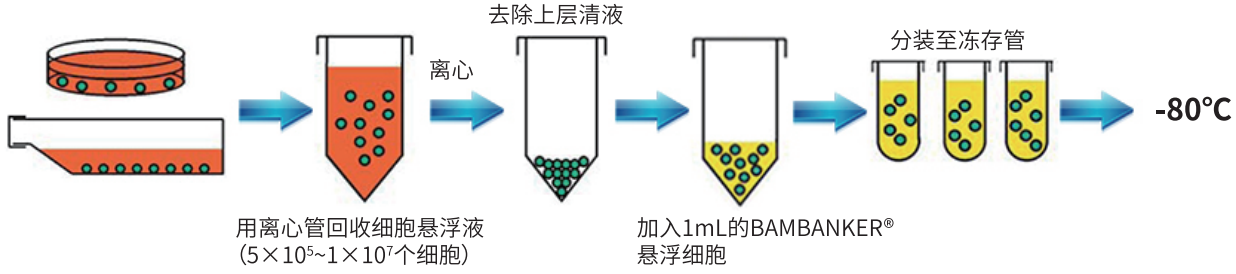
（**：可索取检验证书）



操作流程

1）收集对数生长期的细胞（5×10^5~1×10^7个细胞）；
2）用1mL该冻存液悬浮细胞，置于冻存管中，无需预冷，直接-80°C冷冻保存；在-80°C冻存12小时后可转移至液氮中保存。
3）用恒温箱或者水浴锅快速复苏细胞。

*冷冻细胞必须处于对数生长期



应　用

实验证明可用于以下细胞系保存（只列出部分细胞系）：

小鼠ES细胞系	K562（人慢性骨髓性白血病细胞系）	BAEC（牛主动脉血管内皮细胞系）	小鼠脾脏活化淋巴细胞
3T3-L1（小鼠前脂肪细胞系）	human B cell line （人B细胞系）	TSU-Pr1（人前列腺癌细胞系）	OKT4（小鼠杂交瘤细胞）
C2C12（小鼠骨骼肌细胞系）	HEK293（人胎儿肾细胞系）	HeLa（人子宫颈癌细胞系）	HepG2（人肝癌细胞系）
MEF（小鼠胚胎成纤维细胞）	HEK293T（人胎儿肾细胞系）	human γδT cells （人γδT细胞）	Daudi（人B细胞系）
NIH3T3（小鼠胎儿皮肤细胞）	ECV304（人脐静脉内皮细胞系）	Huh7（人肝癌细胞系）	RPE（人细膜上皮细胞系）
PC12（大鼠源肾上腺嗜铬细胞瘤）	HeLa S3（人子宫颈癌细胞系）	LM-1（人胰腺癌细胞系）	永生化人肌肉细胞
P3U1（小鼠骨髓瘤细胞系）	A431（人扁平上皮癌细胞系）	Jurkat（人白血病T细胞系）	人胃上皮细胞
SNL（小鼠胚胎成纤维细胞）	PANC-1（人胰腺癌细胞系）	MDCK（犬肾小管上皮细胞系）	Vero（非洲绿猴肾细胞系）
OP9（小鼠骨髓基质细胞）	KATOIII （人胃癌上皮细胞系）	H295R（肾上腺皮质细胞）	猴B细胞系
Balb/3T3（小鼠成纤维细胞系）	HFF（人正常成纤维细胞系）	人外周血活化淋巴细胞	

产品信息

产品编号	产品名称	规格	保存
302-14681	**BAMBANKER®** Serum-Free Cell Freezing Medium 无血清细胞冻存液	120mL	2-10°C
306-14684		20mL×5	

BAMBANKER®由 日本LYPHOTEC Inc.公司研发生产。

BAMBANKER®与其它相关产品的比较

实验结果(细胞冻存效果验证)

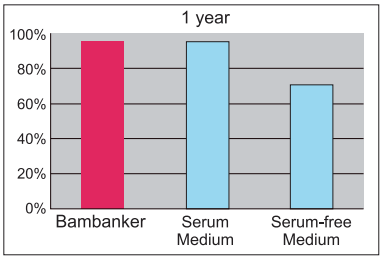
*1:细胞-80°C的保存时间

细胞冻存液类型
1. BAMBANKER® (LYMPHOTEC Inc.)
2. Medium with serum (含血清, Company A)
3. Serum-free Medium (无血清, Company A)

P3U1 (mouse myeloma cell line)

Storage Period	1 year	*1
Bambanker	95%	
Serum Medium	95%	
Serum-free Medium	70%	

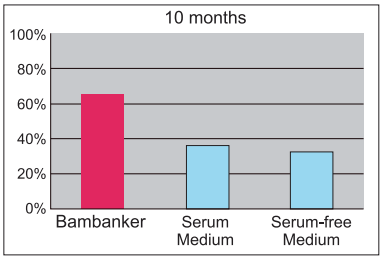
Cell number/vial 2.0×10⁶



human γδT cells

Storage Period	10 months	*1
Bambanker	65%	
Serum Medium	37%	
Serum-free Medium	35%	

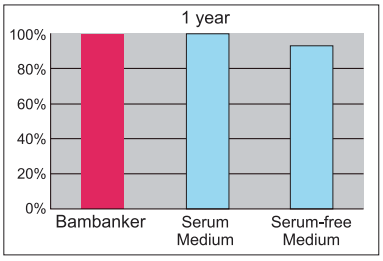
Cell number/vial 1.0×10⁶



OKT4 (mouse hybridoma)

Storage Period	1 year	*1
Bambanker	100%	
Serum Medium	100%	
Serum-free Medium	92%	

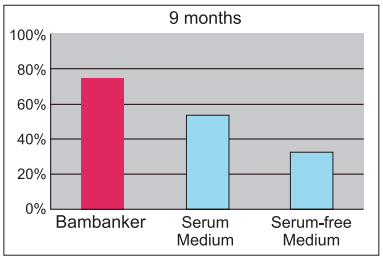
Cell number/vial 1.3×10⁶



human B cell line

Storage Period	9 months	*1
Bambanker	74%	
Serum Medium	54%	
Serum-free Medium	35%	

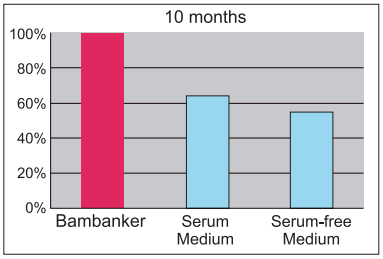
Cell number/vial 1.0×10⁶



human gastric epithelial cells

Storage Period	10 months	*1
Bambanker	100%	
Serum Medium	62%	
Serum-free Medium	56%	

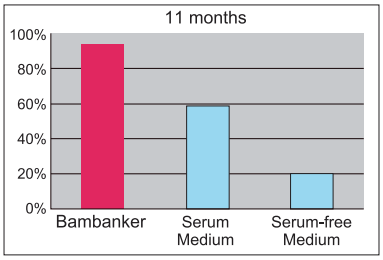
Cell number/vial 1.0×10⁶



PC12 (rat-derived adrenal pheochromocytoma)

Storage Period	11 months	*1
Bambanker	95%	
Serum Medium	59%	
Serum-free Medium	20%	

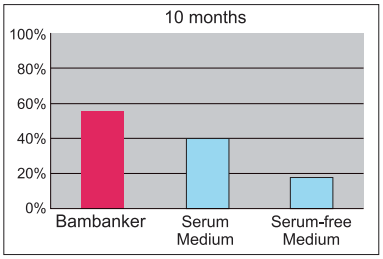
Cell number/vial 1.0×10⁶



monkey B cell line

Storage Period	10 months	*1
Bambanker	56%	
Serum Medium	40%	
Serum-free Medium	18%	

Cell number/vial 1.0×10⁶



参考文献

- Zhang C., Seo J., Nakamura T. (2018) Cellular Approaches in Investigating Argonaute2-Dependent RNA Silencing. In: Okamura K., Nakanishi K. (eds) Argonaute Proteins. Methods in Molecular Biology, vol 1680. Humana Press, New York, NY.
- Sharma, A., M¨ucke, M., & Seidman, C. E. (2018). Human induced pluripotent stem cell production and expansion from blood using a non-integrating viral reprogramming vector. Current Protocols in Molecular Biology,122, e58. doi: 10.1002/cpmb.58.
- Souta Motoike, Mikihito Kajiya, Nao Komatsu, et al. Cryopreserved clumps of mesenchymal stem cell/extracellular matrix complexes retain osteogenic capacity and induce bone regeneration. Stem Cell Res Ther. 2018; 9: 73. Published online 2018 Mar 21. doi: 10.1186/s13287-018-0826-0.
- Srijaya Thekkeparambil Chandrabose, Sandhya Sriram, et al. Amenable epigenetic traits of dental pulp stem cells underlie high capability of xeno-free episomal reprogramming. Stem Cell Research & Therapy 2018 9:68.
- Evans, Michael A. et al. "Macrophage-Mediated Delivery of Light Activated Nitric Oxide Prodrugs with Spatial, Temporal and Concentration Control." Chemical Science (2018): n. pag. Web. doi:10.1039/C8SC00015H.
- Burridge P W, Diecke S, Matsa E, et al. Modeling cardiovascular diseases with patient-specific human pluripotent stem cell-derived cardiomyocytes [J]. Patient-Specific Induced Pluripotent Stem Cell Models: Generation and Characterization, 2016: 119-130
- Durruthy-Durruthy J, Sebastiano V, Wossidlo M, et al. The primate-specific noncoding RNA HPAT5 regulates pluripotency during human preimplantation development and nuclear reprogramming[J]. Nature genetics, 2016, 48(1): 44-52.
- Kojima S I, Kaku M, Kawata T, et al. Cranial suture-like gap and bone regeneration after transplantation of cryopreserved MSCs by use of a programmed freezer with magnetic field in rats[J]. Cryobiology, 2015, 70(3): 262-268.

请联系经销商获取更多参考文献。

FUJIFILM

FUJIFILM Wako Pure Chemical Corporation

ffwk.fujifilm.co.jp

Online Catalog: www.e-reagent.com